

岐阜大学 正員 中川建治
岐阜大学 学生員 ○村瀬安彦

1. まえがき

従来の道路橋示方書の設計方法は活荷重（等分布荷重、線荷重）を最も不利な応力が生ずる位置に載荷する方法を採用しているが、これでは実際の車両荷重の乱れを考慮しているとは言い難い。また、実際の交通量測定においては活荷重の平均値と分散をわざる程度である。したがって、本研究では示方書の荷重式を採用せず、分散荷重は「平均値と分散を任意の区間において一定」という条件以外には制約されない任意の静的分布荷重である」とみなし。このように分布荷重が着目する断面に最も不利な断面力を生ずるようにひびき形状を定め、このときの断面力に耐える断面形状を塑性設計法で求める。そして、実際の示方書式による弹性設計法と比較する。また、平均値 \bar{f}_0 、分散 σ^2 による弹性設計法と、示方書式によるそれと比較検討を試みる。

2. f_0, σ^2 による塑性設計法

本文で対象とするのは3径間連続ばかりとする。スパン長を l_1, l_2, l_3 とし、左右対称の不等断面梁とする。それが l_1 にスパンに載荷される設計用の分布荷重 $f_0(x)$ 、 $f_0(x_1)$ 、 $f_0(x_2)$ は1スパンにおける f_0, σ^2 が規定される以外は任意に変わり得る不規則分布荷重であると仮定する。

このような分布荷重 f_0 によるスパン上の任意点 x の最大曲げモーメント $M(x)$ を求め、 $M(x)$ が全塑性モーメントと等しくなるように支点における断面を決定する。まず、中間支点上の全塑性モーメント M_{PB} を設定する。つぎに左支点が中央スパン内であるならば、左支点がヒンジになったときは、中央スパン左右支点上においてはすでに全塑性モーメント M_{PB} となり、塑性ヒンジであるとする。この崩壊機構は無理のない仮定であろう。左右のスパンに対しては一元の支点の全塑性モーメントが M_{PB} であるとして、上記の方法を適用すればよい。

上述の方法で各支点の絶対最大曲げモーメントを求めると、式(1)となる。

$$M_{max} = f(f_0, \sigma^2, l, x, M_{PB}) \quad \dots \dots \dots \quad (1)$$

式(1)より、 M_{max} は f_0, σ^2, M_{PB} の関数となっている。

3. 塑性設計法の1試乗

塑性設計法と比較するため、示方書式による弹性設計曲線モーメントを実際の橋梁から求める。対象とする橋梁は立木橋で、概略は型式・3径間連続鋼桁、支間 $30m + 40m + 30m$ 、設計荷重TL-14、有効幅4.50m、主桁2本で主桁間隔は2.80mである。そして、弹性設計で求めた断面の弹性抵抗曲線モーメントと全塑性抵抗曲線モーメントの比をとると最小値1.72となる。すなわち、荷重強度が1.72倍に増加しても破壊に至ることはないと考えられる。このとき、許容応力度 1900 kg/cm^2 、降伏応力度 2800 kg/cm^2 の鋼材を使用する。

塑性設計を行なうために式(1)より、 f_0, σ^2, M_{PB} の値を決定しなければならない。 f_0, σ^2 の値はつぎのように求める。1スパン上に示方書式の荷重が全区間に載荷されている状態から、1スパン当たりの f_0, σ^2 を求める。 f_0, σ^2 を規定した荷重を前述した橋の任意点 x に最も不利になる荷重分布形状で各スパンに載荷し、弹性設計曲線モーメントを求める。このとき、示方

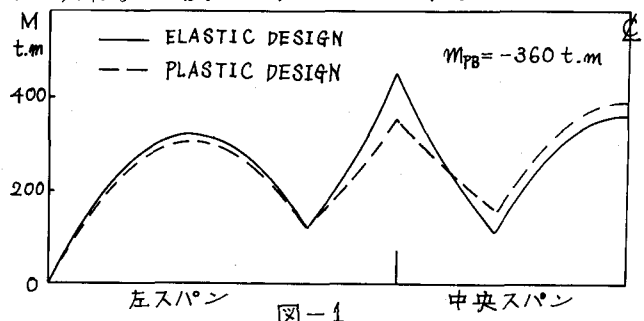


図-1

書式荷重による弾性設計曲線モーメントに γ_0, γ_0' によるそれが一致するように γ_0, γ_0' に係数 $ALC (<1)$ を乗する。このように各点の γ_0, γ_0' の値を決定する。このとき、各点の γ_0, γ_0' の値は異なる。そして、 m_B の値は上記で決定された γ_0, γ_0' による塑性設計曲線モーメントと示す書式荷重による弾性設計曲線モーメントと最もよく近似させる値を採用する。この結果は図-1に示されている。このとき、荷重係数 1.72 を乗ずる。

4. γ_0, γ_0' による弾性設計

示す書式による弾性設計と、 γ_0, γ_0' による弾性設計を比較検討してみよう。 γ_0, γ_0' は示す書式荷重荷元法を利用して求める。つぎに述べる3方法が考えられる。

4-1. γ_0, γ_0' の決定方法(図-2参照)

① 1スパンの荷重分布形状から、1スパン当たりの γ_0, γ_0' を求める。

② 荷重載荷区間の荷重分布形状から、荷重載荷区間当たりの γ_0, γ_0' を求める。

③ 荷重載荷区間の荷重分布形状から、全スパン当たりの γ_0, γ_0' を求める。

①、②、③の方法で求めた γ_0, γ_0' に係数 $ALC (<1)$ を乗じた値を使って弾性設計曲線モーメントを求め、示す書式荷重によるそれに一致さす。このときの中央スパン中央、左スパン中央、中間支点の荷重分布形状を図-3に示す。

上記の方法で求められた γ_0, γ_0' の値はすべての点において一定ではない。実際の橋梁上のすべての点では γ_0, γ_0' の値は一定と考えられる。そこで、つぎに述べる γ_0, γ_0' の値をすべての橋梁上の点で採用して、弾性設計曲線モーメントを求める。

④ 左スパンと右スパンに示す書式荷重を載荷したときの荷重分布形状から、全スパン当たりの γ_0, γ_0' を求める。

⑤ 左スパンのみに示す書式荷重を載荷したときの荷重分布形状から、全スパン当たりの γ_0, γ_0' を求める。

④の方法で求めた γ_0, γ_0' に $ALC = 0.7$ を乗じた値を使って弾性設計曲線モーメントを求め、これと示す書式による弾性設計曲線モーメントとを図-4に示す。

①～⑤の方法で求めた γ_0, γ_0' による弾性設計曲線モーメントの比較は当日発表する。

5. あとがき

γ_0, γ_0' による塑性設計と示す書式による弾性設計とを比較した図-1より、塑性設計法の曲線モーメントが弾性設計のそれに比べて中間支点近傍では小さいことがわかる。これは塑性設計法の荷重分配作用によるものと考えられる。

γ_0, γ_0' が全スパンにおいて一定の条件下の弾性設計と、示す書式による弾性設計とを比較したのが図-4に示されているが、この図より、中間支点近傍で γ_0, γ_0' による曲線モーメントが小さく、各スパンの中央付近では示す書式の曲線モーメントが大きいことがわかる。

γ_0, γ_0' の値を種々の方法で求め弾性設計を行なったが、実際に交通量測定より求めた γ_0, γ_0' の値を用いて行なうことは必要と思われる。

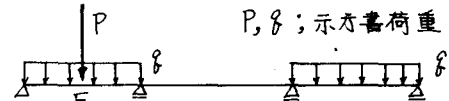


図-2 点Eの示す書式荷重分布形状

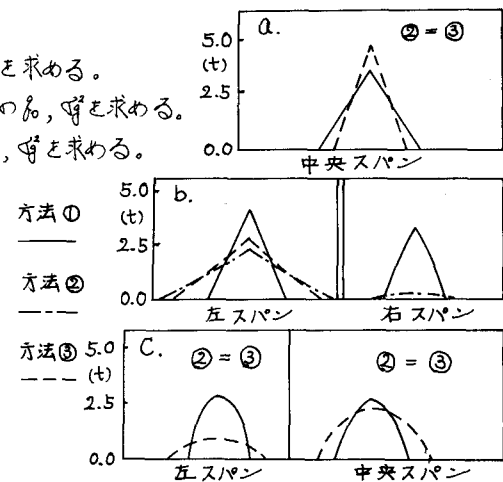


図-3 (a. 中央スパン中央 b. 左スパン中央 c. 右スパン中央)

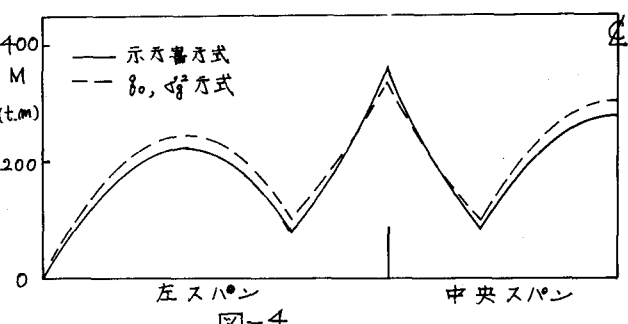


図-4